

DOI: <https://doi.org/10.5281/zenodo.11109129>

РАСЧЕТ ТЕЧЕНИЯ ВОДЫ К СКВАЖИНЕ МЕТОДОМ КОНЕЧНЫХ ЭЛЕМЕНТОВ

¹ Полатов А.М., ¹ ГУО Вей, ² Одилов Ж.К.,

¹Национальный Университет Узбекистана,

²Каршинский государственный университет,

asad3@yandex.ru,

709333319@qq.com,

odilovjahongir1993@gmail.com

АННОТАЦИЯ

В статье на основе метода конечных элементов разработана численная модель и приводится алгоритм определения пьезометрического давления в каждой потенциальной линии течения подземных вод. Известно, что многие прикладные задачи, связанные с переносом тепла, позволяют исследовать течение воды к скважине в пористой среде, что является важной задачей гидродинамики. Разработан вычислительный алгоритм и программное обеспечение для решения задачи о радиальном течении воды в скважине, а также проанализированы результаты расчета. Исследовано влияние коэффициента фильтрации и расход воды в скважине, приведены численные результаты понижение уровня воды в скважине.

Ключевые слова: гидродинамика, подземных воды, скважина, пьезометрический напор, коэффициент фильтрации, МКЭ.

1. ВВЕДЕНИЕ

Ряд важных физических двумерных и трехмерных задач может быть решен с использованием одномерных и двумерных конечных элементов. Радиальный поток тепла через концентрические цилиндры при различных коэффициентах теплопроводности представляется одним из классических задач. Известно, что в длинном цилиндре тепла распространяется в обоих, радиальном и осевом направлениях. Поток тепла не зависит от азимутального угла θ , если граничные условия не зависят от θ . Другая задача с осевой симметрией это - о плоском течении воды к центру скважине. В этом случае характеристики течения не зависят от угла θ . Многие трехмерные задачи теории поля обладают осевой симметрией.

В работе [1] отмечается, что подземная гидромеханика является наукой о фильтрации жидкостей, газов и их смесей в пористых породах. Предметом исследований которой является поток жидкости в поровой среде. Она является одной из составляющих теории разработки нефтяных и газовых месторождений и технологии нефтегазодобычи. В монографии [2] приводятся основные соотношения метода конечных элементов, для решения осесимметрических задач теории поля, которые при безвихревом течении воды, можно использовать при решении задач о плоском течении воды к скважине. В статье [3] рассмотрена математическая модель охлаждения полого цилиндрического шприца из металлической заготовки продольными квазистационарными потоками воды. Приведен алгоритм численного решения задачи, а также результаты расчета параметров теплопередачи цилиндров и потоков среды.

Целью статьи [4] является анализ радиального потока между резервуаром подземных вод и его добывающей скважиной, следствием которого является появление кривой депрессии (конуса депрессии) на потенциметрической поверхности, вызванной насосной скважиной. Построено математическое выражение расхода гидравлического заряда (конуса депрессии на потенциметрической поверхности) из пласта в скважину. Построена кривая депрессии на потенциметрической поверхности. Целью статьи [5] является анализ радиального течения между водоносным пластом и его добывающей скважиной, следствием которого является появление кривой депрессии (конуса депрессии) на потенциметрической поверхности, обусловленной насосной скважиной. уровни в его окрестностях понижены. Через определенное время добычи при постоянном расходе конус депрессии не развивается. В этом случае достигается постоянный режим движения подземных вод, который не изменяется. В статье [6] разработана математическая модель одномерного радиального течения через добывающую скважину, пробуренную в напорном водоносном горизонте, в случае установившегося режима течения. Получено аналитическое решение для оценки депрессий в зависимости от различных расходов. Оценивается статическое давление, рассчитывается гидравлический заряд, обусловленный потоком воды через скважину, строятся кривые депрессии и анализируются полученные кривые.

В статье [7] посвящена исследованию скорости комплексного потенциала и давления жидкости геотермального пласта добывающих и обратных нагнетательных скважин. Используя числа Бернулли определяется скорость комплексного потенциала геотермального резервуара как сумма сходящегося ряда и вычисляется давление геотермальной жидкости в скважинах. В статье [8] изучается пространственное распределения температуры вдоль ствола при

закачке воды в нагнетательную скважину с целью объяснения регистрации пикообразных аномалий температуры в интервале нарушения герметичности насосно-компрессорных труб или обсадной колонны.

В данной статье на основе метода конечных элементов разработан вычислительный алгоритм и программное обеспечение для решения задач, связанных с процессом расчета пьезометрического давления в потенциальных линиях течения подземных вод, а также проанализированы результаты расчета.

2. ПОСТАНОВКА ЗАДАЧИ

Рассматривается дифференциальное уравнение для квазистатических задач теории поля в цилиндрических координатах [1, 2]:

$$K_{rr} \frac{\partial^2 \varphi}{\partial r^2} + \frac{1}{r} K_{rr} \frac{\partial \varphi}{\partial r} + \frac{K_{\theta\theta}}{r^2} \frac{\partial^2 \varphi}{\partial \theta^2} + K_{zz} \frac{\partial^2 \varphi}{\partial z^2} + Q = 0 \quad , \quad (1)$$

с граничными условиями: $\varphi = \varphi_\infty$

и

$$K_{rr} \frac{\partial \varphi}{\partial r} l_r + K_{\theta\theta} \frac{\partial \varphi}{\partial \theta} l_\theta + K_{zz} \frac{\partial \varphi}{\partial z} l_z + q + h(\varphi - \varphi_\infty) = 0. \quad (2)$$

Наличие симметрии означает, что пьезометрический напор не зависит от θ и соответствующие члены в приведенных соотношениях должны быть отброшены.

Дифференциальное уравнение двумерной задачи теплопроводности:

$$K_{rr} \frac{\partial^2 \varphi}{\partial r^2} + \frac{1}{r} K_{rr} \frac{\partial \varphi}{\partial r} + Q = 0, \quad (3)$$

где

K_{rr} - коэффициенты фильтрации [$м^3 / (сут * м^2)$];

φ - пьезометрический напор, измеренный в метрах от нижней границы водоносного слоя;

Q - потери воды [$м^3 / сут$].

Выкачивание воды соответствует отрицательной величине Q , с граничными условиями:

$$\varphi = \varphi_\infty, K_{rr} \frac{\partial \varphi}{\partial r} l_r + q + h(\varphi - \varphi_\infty) = 0. \quad (4)$$

Слагаемое q , в формуле (4), представляет поток воды, движущейся из области через границу. Единицей измерения этого количества просочившейся воды является $[м^3/сут]$.

Вариационная формулировка, соответствующая уравнению (3) и граничным условиям, связана с функционалом:

$$\chi = \int_V \frac{1}{2} \left[rK_{rr} \left(\frac{\partial \varphi}{\partial r} \right)^2 - 2rQ\varphi \right] dV + \int_{S_1} q\varphi dS + \int_{S_2} \frac{h}{2} [\varphi^2 - 2\varphi\varphi_\infty + \varphi_\infty^2] dS. \quad (5)$$

где

S_1 - область, где задан поток; S_2 - область, где теплообмен.

3. КОНЕЧНО-ЭЛЕМЕНТНОЕ РЕШЕНИЕ ЗАДАЧИ

Условие экстремума функционала (5) для конечного элемента e приводит к следующей системе дифференциальных уравнений [1]:

$$\frac{\partial \chi^{(e)}}{\partial \{\Phi\}} = [k^{(e)}] \{\Phi\} + \{f^{(e)}\}, \quad (6)$$

где

$$[k^{(e)}] = \int_{V^{(e)}} [B^{(e)}]^T [D^{(e)}] [B^{(e)}] dV + \int_{S_2} h [N^{(e)}]^T [N^{(e)}] dS, \quad (7)$$

(7)

$$\{f^{(e)}\} = - \int_{V^{(e)}} (rQ) [N^{(e)}]^T dV + \int_{S_1} q [N^{(e)}]^T dS - \int_{S_2} h\varphi_\infty [N^{(e)}]^T dS, \quad (8)$$

(8)

$e = 1, 2, \dots, n$, где n - число конечных элементов;

$V^{(e)}$ - объем конечного элемента;

$[N^{(e)}]$ - матрица функций формы;

$[B^{(e)}]$ - матрица производных от функции формы;

$[D^{(e)}]$ - матрица коэффициентов фильтрации.

Разбнение области на элементы в данном случае показано на фиг.1.б. Каждый элемент ограничивается концентрическими окружностями. Значение φ внутри каждого элемента не зависит от угла θ , и множество концентрических окружностей может быть заменено линейными элементами, изображенными на фиг.1.а.



Фиг. 1. Множество концентрических окружностей и одномерные элементы

Функции формы для одномерного элемента, выраженные через радиус r , имеют вид:

$$N_i = \frac{R_j - r}{R_j - R_i} \quad \text{и} \quad N_j = \frac{r - R_i}{R_j - R_i}. \quad (9)$$

Переменная φ аппроксимируется зависимостью:

$$\varphi = N_i \Phi_i + N_j \Phi_j. \quad (10)$$

Матрица градиентов выражается следующим соотношением:

$$[B] = \left[\frac{\partial N_i}{\partial r} \quad \frac{\partial N_j}{\partial r} \right] = \frac{1}{R_j - R_i} [-1 \quad 1]. \quad (11)$$

Вычислить интегралы в (6) сравнительно просто. Бесконечно малое изменение объема dV элемента единичной толщины равно:

$$dV = 2\pi r dr. \quad (12)$$

Внешнюю поверхность могут иметь только два элемента: элемент на внешней границе и внутренний элемент при наличии полости. В обоих случаях эти поверхности совпадают с узлами и интеграл по поверхности сводится к интегралу $\int dS$. Рассмотрим теперь более детально интегралы по элементам, опуская верхний индекс (e) у всех переменных, кроме $[k^{(e)}]$ и $\{f^{(e)}\}$. Вычислим объемный интеграл в $[k^{(e)}]$, используя формулы (11) и (12):

$$\int_V [B]^T [D] [B] dV = \frac{2\pi K_{rr}}{L^2} \int_{R_i}^{R_j} \begin{bmatrix} -1 \\ 1 \end{bmatrix} [-1 \quad 1] r^3 dr \quad (13)$$

где K_{rr} - предполагается постоянным, а $L = R_j - R_i$ - длина элемента. После умножения и интегрирования будем иметь:

$$\int_V [B]^T [D] [B] dV = \frac{2\pi K_{rr} (R_j^3 - R_i^3)}{3(R_j - R_i)^2} \begin{bmatrix} 1 & -1 \\ -1 & 1 \end{bmatrix}. \quad (14)$$

Поверхностный интеграл в $[k^{(e)}]$ имеет вид:

$$\int_S h[N]^T [N] dS = \int_S h \begin{bmatrix} N_i N_i & N_j N_i \\ N_i N_j & N_j N_j \end{bmatrix} dS. \quad (15)$$

Вычислим этот интеграл по внешней поверхности, которая совпадает с j -м узлом наиболее удаленного от центра элемента. В этом узле функции формы имеют значения: $N_j = 1$ и $N_i = 0$, поверхностный интеграл записывается следующим образом:

$$\int_S h[N]^T [N] dS = 2\pi R_j h \begin{bmatrix} 0 & 0 \\ 0 & 1 \end{bmatrix}. \quad (16)$$

Толщина элемента предполагается единичной. Для внутренней поверхности того же элемента тот же самый интеграл имеет вид:

$$\int_S h[N]^T [N] dS = 2\pi R_i h \begin{bmatrix} 1 & 0 \\ 0 & 0 \end{bmatrix}. \quad (17)$$

Поверхностные интегралы формулы (6) для $\{f^{(e)}\}$ определяются аналогично.

Вычисление объемного интеграла, входящего в $\{f^{(e)}\}$ сводится к интегрированию членов, включающих r^2 и r^3 . Запишем окончательный результат:

$$\int_V r Q [N]^T dV = \frac{\pi Q}{6(R_j - R_i)} \left\{ \begin{array}{l} (R_j^4 - 4R_i^3 R_j + 3R_i^4) \\ (3R_j^4 - 4R_j^3 R_i + R_i^4) \end{array} \right\}. \quad (18)$$

Величина Q теперь не распределяется, как раньше, поровну между узлами, хотя это не столь очевидно из (18). Более половины величины Q приходится на узел j , потому что радиальная координата возрастает в направлении этого узла. Неравномерное распределение Q по узлам элемента иллюстрируется на следующей задаче.

4. ВЫЧИСЛИТЕЛЬНЫЙ ЭКСПЕРИМЕНТ И ОБСУЖДЕНИЯ РЕЗУЛЬТАТОВ

В качестве тестового примера рассматривается следующая задача [2]. В неограниченном водоносном слое с коэффициентом проницаемости $20 \text{ м}^3 / (\text{сут} \cdot \text{м}^2)$ имеется скважина (фиг.1.а). Расход воды составляет $200 \text{ м}^3 / \text{ч}$. Течение к скважине происходит в радиальном направлении, причем пьезометрический напор на расстоянии 300 м от скважины поддерживается равным 30 м . Требуется определить максимальное понижение уровня воды при установившемся режиме течения.

В табл.1 приведены значения понижение уровня воды в скважине, которые сравниваются с результатами, приведенными в монографии [1]. Полученные результаты подтверждают правильность разработанного вычислительного алгоритма.

Табл.1. Понижение уровня воды в скважине

Число элементов	Давление в скважине [М]	Понижение уровня воды в скважине [М]
4	29.84	0.16
5	29.68	0.32
6	29.35	0.65
[2]	29.39	0.61

Визуализация численных значений в концентрических окружностей приведено на рис.2.

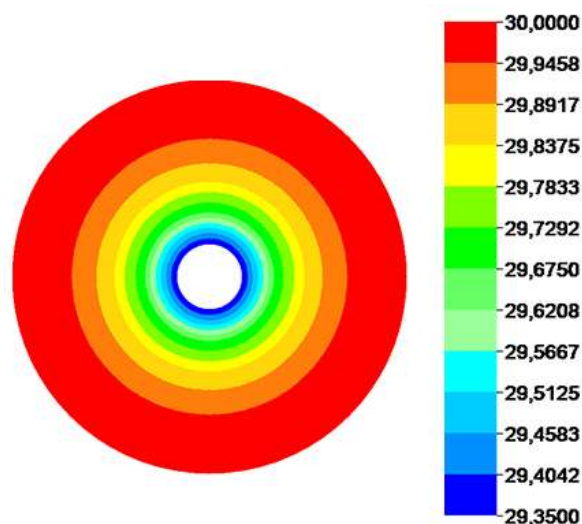


Рис.2. Визуализация численных значений в концентрических окружностей

С целью исследования влияния коэффициента фильтрации и расход воды в скважине в табл.2 и 3, приведены численные значения понижение уровня воды в скважине.

Табл.2 Понижение уровня воды в скважине

Коэффициенты фильтрации ($m^3 / (сут * m^2)$)	h
10	1.30
20	0.65
30	0.43
40	0.32

Табл.3 Расход воды

Расход воды ($m^3 / сут$)	h
100	0.32
200	0.65
300	0.98
400	1.30

Посредством вычислительного эксперимента установлено:

- при постоянном расходе воды равном $200\text{ м}^3/\text{сут}$, увеличение коэффициента фильтрации приводит к понижению уровня воды в скважине (табл.2).

- при постоянном значении коэффициента фильтрации равном $20\text{ м}^3/(\text{сут}\cdot\text{м}^2)$, увеличение расхода воды влечёт за собой к повышению уровня воды в скважине (табл.3).

Заключение

Таким образом, компьютерное моделирование процесса расчета пьезометрического давления в потенциальных линиях течения подземных вод, позволяет провести вычислительный эксперимент и определить приемлемые параметры расхода воды.

СПИСОК ЛИТЕРАТУРЫ

1. Пономарева И.Н., Мордвинов В.А. Подземная гидромеханика: Пермь, Перм. гос. техн. ун-т, 2009. - 103с.

2. Сегерлинд Л. Применение метода конечных элементов. - М.: Мир, 1979. - 392 с.

3. Липанов А.М., Макаров С.С. Численное решение задачи охлаждения высокотемпературного сплошного металлического цилиндра. Машиностроение и инженерное образование, 2012, № 4. с. 33-40.

4. Polatov A.M., Ikramov A.M., Jumaniyozov S.P., Sapaev Sh.O. Computer simulation of two-dimensional unsteady-state heat conduction problems for inhomogeneous bodies by the FEM. Modern Problems of Applied Mathematics and Information Technology (MPAMIT 2021). AIP Conference Proceedings 2781, 020019 (2023); <https://doi.org/10.1063/5.0144813> Published by AIP Publishing.

5. B. Hountondji and F. de Paule Codo. Analysis of the radial flow from a ground water reservoir To its Production Well, In Steady-State Flow Conditions, In Monzoungoudo, Benin. // Australian Journal of Basic and Applied Sciences, 11(13): 68-76, 2017.

6. de P. Codo, F., Hountondji, B. and Aina, M.P. (2019) Steady-State Radial Flow Modeling through the Production Well in the Confined Aquifer of Monzoungoudo, Benin. Open Journal of Fluid Dynamics, 9, 107-118. <https://doi.org/10.4236/ojfd.2019.92008>

7. Codo, F.P., V. Adanhounmè and A. Adomou., 2012. Analytical approach for the determination of complex potential and pressure in the production and reinjection wells of geothermal reservoir. Journal of Applied Sciences Research, 8(1): 261-266.

8. Назаров В.Ф., Мухутдинов В.К. Изучение радиального градиента температуры в потоке закачиваемой воды в нагнетательной скважине. Евразийский Союз Ученых (ЕСУ), 1 (22), 2016: 82-85.